

САМАРСКАЯ ОБЛАСТНАЯ
ФИЗИКО-МАТЕМАТИЧЕСКАЯ ШКОЛА

Кинельская Дарья

Сила светового давления, действующая
на пылевую частицу хвоста кометы
(Доклад)

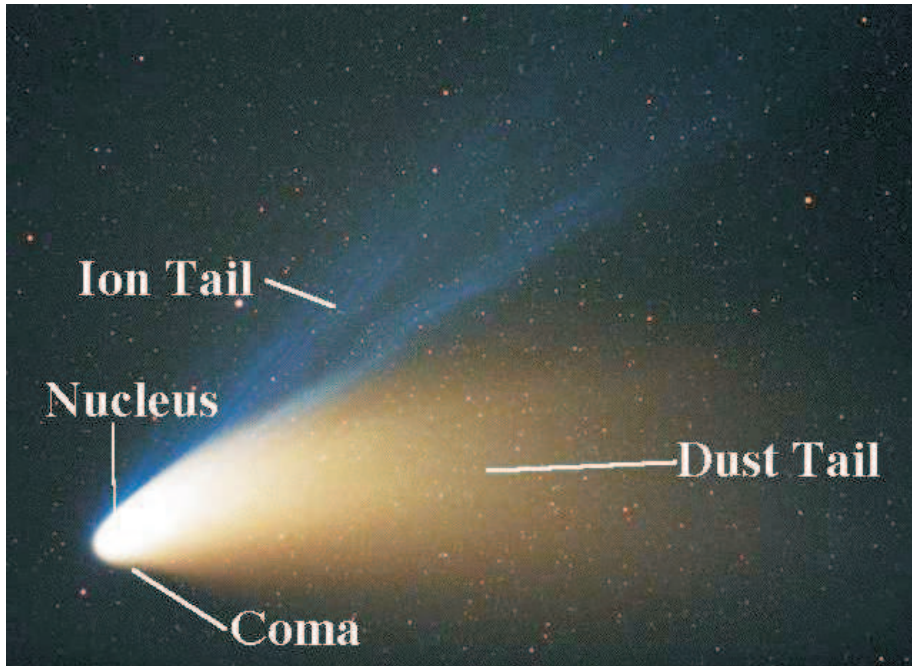
Научный руководитель:
педагог дополнительного
образования по астрономии
Снеткова Юлия Анатольевна^а

^аE-mail: selenia@land.ru

План доклада

1. Введение
2. Вычисление силы и потенциала светового давления
3. Численные результаты и сравнительный анализ
4. Заключение

1. Введение

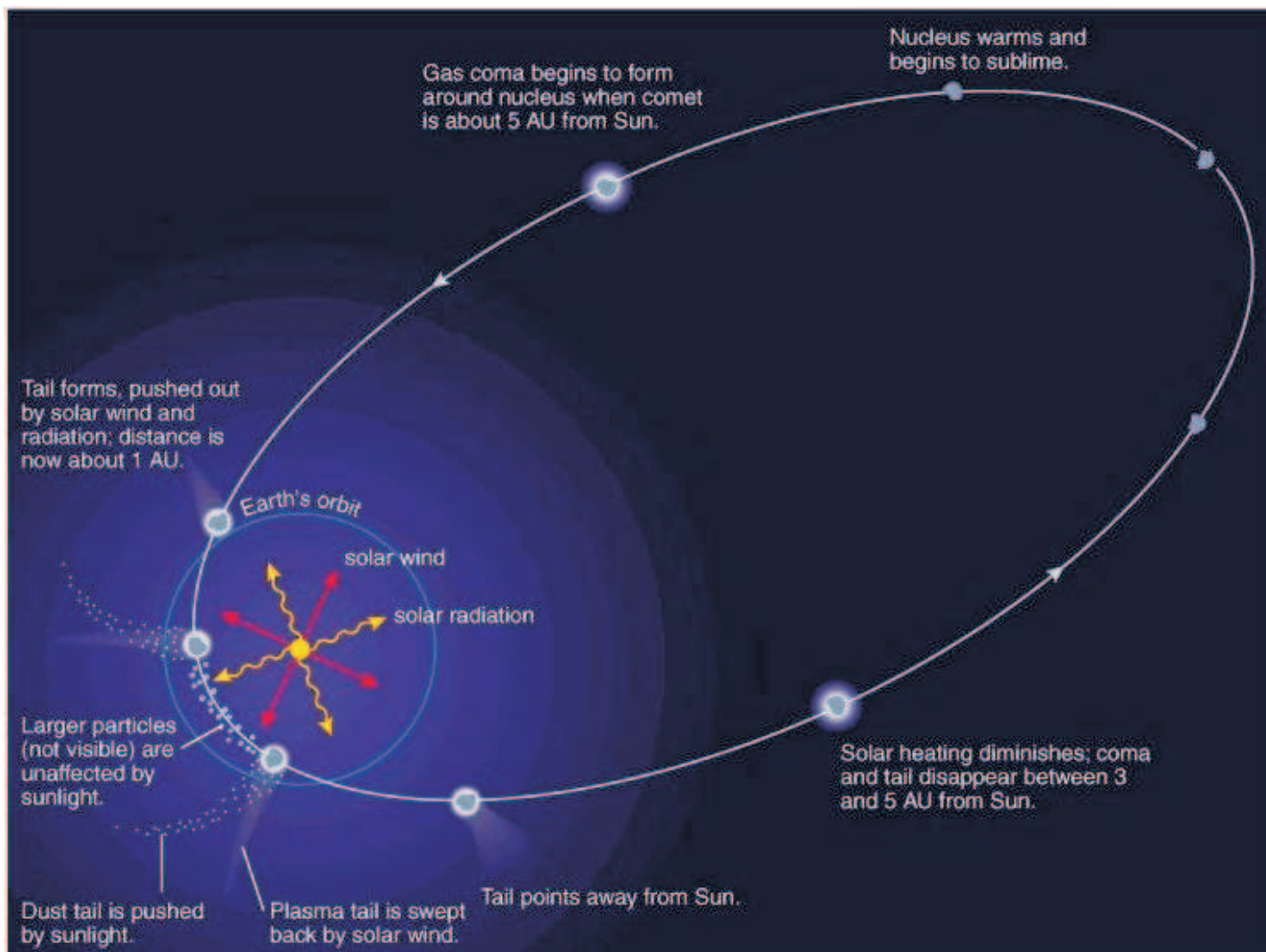


- ✓ **Кометы** – одни из самых удивительных и загадочных объектов Солнечной системы. Начало наблюдений комет восходит к глубокой древности.
- ✓ **И. Кеплер (1619)** - первое корректное предположение о природе кометных хвостов и действии света.
- ✓ **Ольберс и Брунс (начало XIX)** - первые попытки определения отталкивающей силы Солнца по наблюдениям комет.
- ✓ **Бессель (1836)** - первая работа о движении частиц хвоста кометы под действием силы притяжения Солнца и его отталкивающей силы.



- ✓ **Ф.А. Бредихин (1878)** - предложена классификация хвостов комет в зависимости от среднего значения отталкивательной силы, действующей на частицы хвоста кометы.
- ✓ **Г.В. Ольберс** - предположение об электрической природе отталкивательной силы. Его союзники - Целльнер и Бредихин.
- ✓ **Максвелл (середина XIX)** - предсказание давления света на материальные тела.
- ✓ **П.Н. Лебедев (1900)** - экспериментальное открытие светового давления.

Опытные исследования показали, что световое давление играет ключевую роль в формировании пылевых хвостов комет.



Прецизионный расчет силы светового давления необходим, потому что:

- ✓ данная характеристика играет ключевую роль в описании эволюции комет;
- ✓ для прямых космических исследований кометной материи необходимо точно определять законы движения ядра и частиц;
- ✓ исследование кинематики хвостов комет позволит получить информацию о межпланетном магнитном поле, солнечной активности, электрическом поле Солнца и других физических процессах и явлениях в областях, далеких от Земли и от плоскости эклиптики (Бирман, Люст).

Результаты предшественников:

1. В большинстве наиболее известных работ по кометам ([1], [2]) использовалось приближенное выражение для силы светового давления, которое было получено в случае нормального падения излучения Солнца на плоскую черную площадку с использованием большого набора экспериментальных данных и чисто феноменологических зависимостей.
2. Рассеяние электромагнитного излучения на сферических частицах рассматривалось в теории Ми ([3], [4]). Однако в данной теории выражение для силы давления представлялось в виде бесконечного ряда, слагаемые которого невозможно было просуммировать и, следовательно, получить численные значения. Это создавало значительные неудобства в использовании полученного выражения.

[1] О.В. Добровольский Кометы // М.: Наука, Главная редакция физико-математической литературы, 1966.-288с.

[2] К.И. Чурюмов Кометы и их наблюдение // М.: Наука, Главная редакция физико-математической литературы, 1980.-160с.

[3] P.W. Barber, S.S. Hill Light scattering by particles: Computational Methods // Singapore, World Scientific, 1990.

[4] Hong Du Mie-scattering calculation // Applied Optics, **43** (9), 2004. P. 1951-1956.

Цель настоящей работы – построение алгоритма расчета силы светового давления и соответствующего эффективного светового давления (ЭСД) на более высоком уровне точности в случае сферической частицы пылевого хвоста кометы **в рамках геометрической оптики**.

Основные задачи данной работы:

1. Вычисление и анализ силы светового давления на сферическую силикатную частицу в приближении геометрической оптики.
2. Вычисление и анализ эффективного светового давления на пылевую частицу.
3. Построение механического потенциала светового давления.
4. Сравнительный анализ силы светового давления с силой притяжения, действующей на частицу со стороны Солнца.

Новизна результатов данной работы:

1. Минимальный набор экспериментальных данных и отсутствие чисто феноменологических зависимостей.
2. Учет геометрии формы частицы, глубокая и последовательная типизация элементарных процессов: отражения и поглощения световых лучей силикатной частицей.

2. Вычисление силы и потенциала светового давления

2.1. Модель физической системы:

1. Солнце – абсолютно черное тело с температурой поверхности $T_{\odot} = 5777$ К. Спектральная плотность энергетической светимости описывается формулой Планка.
2. Солнце по структуре – однородный шар радиуса R_{\odot} со сферически-симметричным распределением массы. Неполяризованное излучение носит изотропный характер. Поглощением света межзвездной средой будем пренебрегать.
3. Данное излучение – поток фотонов с плоским волновым фронтом, направления векторов импульса которых определяется единичным вектором \vec{k} , направленным от Солнца.
4. Силикатная частица хвоста кометы – шар радиуса R_P из оптически однородной среды с показателем преломления $n(\omega)$.

2.2. Расчет силы и потенциала светового давления

Согласно второму и третьему законам Ньютона

$$\vec{F}_p = -\frac{\Delta\vec{P}}{\Delta t}, \quad (1)$$

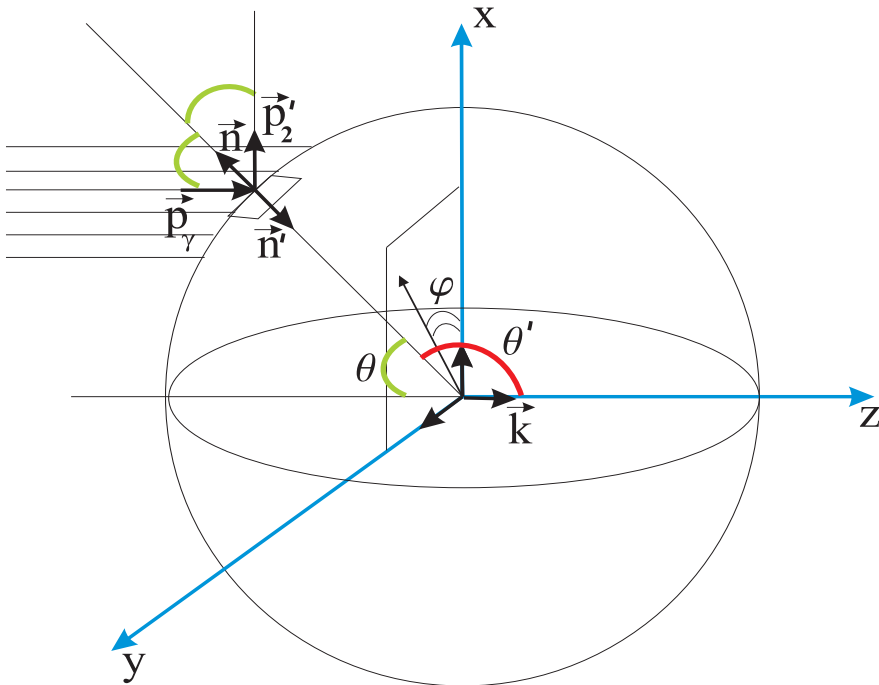
где $\Delta\vec{P}$ – изменение импульса, претерпеваемое системой фотонов, падающих на частицу за время Δt .

Перепишем выражение (1) в проекциях на координатные оси:

$$\left. \begin{aligned} \text{OX: } F_{px} &= -\frac{\Delta P_x}{\Delta t} \\ \text{OY: } F_{py} &= -\frac{\Delta P_y}{\Delta t} \\ \text{OZ: } F_{pz} &= -\frac{\Delta P_z}{\Delta t} \end{aligned} \right\}, \quad (2)$$

где проекции ΔP_x , ΔP_y , ΔP_z определяются следующими выражениями:

$$\left. \begin{aligned} \Delta P_x &= \Delta P_{1x} + \Delta P_{2x} \\ \Delta P_y &= \Delta P_{1y} + \Delta P_{2y} \\ \Delta P_z &= \Delta P_{1z} + \Delta P_{2z} \end{aligned} \right\}. \quad (3)$$



$\Delta P_{1x}, \Delta P_{1y}, \Delta P_{1z}$ - проекции изменения импульса системы фотонов, падающих на частицу и поглощаемых последней за время Δt ; $\Delta P_{2x}, \Delta P_{2y}, \Delta P_{2z}$ - проекции изменения импульса системы фотонов, падающих на частицу и отражаемых последней за тот же промежуток времени.

Рассмотрим процесс падения фотона на площадку dS . Проекции изменения импульса фотона, поглощенного частицей, определяются следующей системой выражений:

$$\left. \begin{aligned} \Delta p_{1x} &= p'_{1x} - p_{1x} = 0 \\ \Delta p_{1y} &= p'_{1y} - p_{1y} = 0 \\ \Delta p_{1z} &= p'_{1z} - p_{1z} = -p_{\gamma} \end{aligned} \right\}. \quad (4)$$

В случае фотона, отраженного от площадки, проекции изменения импульса определяются системой:

$$\left. \begin{aligned} \Delta p_{2x} &= p'_{2x} - p_{2x} = p_{\gamma} \sin 2\theta \cos \varphi, \\ \Delta p_{2y} &= p'_{2y} - p_{2y} = p_{\gamma} \sin 2\theta \sin \varphi, \\ \Delta p_{2z} &= p'_{2z} - p_{2z} = -p_{\gamma} \cos 2\theta - p_{\gamma} = -2p_{\gamma} \cos^2 \theta \end{aligned} \right\}. \quad (5)$$

Спектральный поток фотонов через площадку dS

$$d\Phi(\omega) = \vec{j}(\omega) d\vec{S} = j(\omega) dS (\vec{k}\vec{n}') = j(\omega) dS \cos \theta. \quad (6)$$

Следовательно, изменение импульса, создаваемое системой фотонов, падающих на площадку dS за единицу времени с частотами $(\omega, \omega + d\omega)$ и поглощаемых последней, определяется выражением:

$$\left. \begin{aligned} dP_{1x} &= (1 - \rho(\theta))d\Phi(\omega)\Delta p_{1x}d\omega = 0, \\ dP_{1y} &= (1 - \rho(\theta))d\Phi(\omega)\Delta p_{1y}d\omega = 0, \\ dP_{1z} &= (1 - \rho(\theta))d\Phi(\omega)\Delta p_{1z}d\omega = -p_\gamma(1 - \rho(\theta))j(\omega)\cos\theta dSd\omega \end{aligned} \right\}, \quad (7)$$

где $\rho(\theta)$ - коэффициент отражения.

Аналогично для системы фотонов, отраженных частицей, имеем:

$$\left. \begin{aligned} dP_{2x} &= \rho(\theta)d\Phi(\omega)\Delta p_{2x}d\omega = 2p_\gamma\rho(\theta)j(\omega)\sin\theta\cos^2\theta\cos\varphi dSd\omega, \\ dP_{2y} &= \rho(\theta)d\Phi(\omega)\Delta p_{2y}d\omega = 2p_\gamma\rho(\theta)j(\omega)\sin\theta\cos^2\theta\sin\varphi dSd\omega, \\ dP_{2z} &= \rho(\theta)d\Phi(\omega)\Delta p_{2z}d\omega = -2p_\gamma\rho(\theta)j(\omega)\cos^3\theta dSd\omega \end{aligned} \right\}. \quad (8)$$

Следовательно, согласно (3), имеем:

$$\left. \begin{aligned} \Delta P_x &= \Delta t \int (dP_{1x} + dP_{2x}) = \Delta t \int \int 2p_\gamma \rho(\theta) j(\omega) \sin \theta \cos^2 \theta \cos \varphi dS d\omega, \\ \Delta P_y &= \Delta t \int (dP_{1y} + dP_{2y}) = \Delta t \int \int 2p_\gamma \rho(\theta) j(\omega) \sin \theta \cos^2 \theta \sin \varphi dS d\omega, \\ \Delta P_z &= \Delta t \int (dP_{1z} + dP_{2z}) = \Delta t \int \int [-p_\gamma (1 - \rho(\theta)) j(\omega) \cos \theta - \\ &\quad - 2p_\gamma \rho(\theta) j(\omega) \cos^3 \theta] dS d\omega \end{aligned} \right\}. \quad (9)$$

Перейдем в сферическую систему координат:

$$\left\{ \begin{aligned} x &= R_P \sin \theta' \cos \varphi = R_P \sin \theta \cos \varphi \\ y &= R_P \sin \theta' \sin \varphi = R_P \sin \theta \sin \varphi \\ z &= R_P \cos \theta' = -R_P \cos \theta \end{aligned} \right\}, \quad (10)$$

где $\theta' = \pi - \theta$.

Элемент площади

$$dS = R_P^2 \sin \theta' d\varphi d\theta' = -R_P^2 \sin \theta d\varphi d\theta,$$

при этом

$$0 \leq \varphi \leq 2\pi, \quad \frac{\pi}{2} \leq \theta \leq 0.$$

Следовательно, (9) можно переписать в виде:

$$\left. \begin{aligned} \Delta P_x &= -2R_P^2 \Delta t \left[\int_0^\infty p_\gamma j(\omega) d\omega \int_{\frac{\pi}{2}}^0 \rho(\theta) \cos^2 \theta \sin^2 \theta d\theta \int_0^{2\pi} \cos \varphi d\varphi \right] = 0, \\ \Delta P_y &= -2R_P^2 \Delta t \left[\int_0^\infty p_\gamma j(\omega) d\omega \int_{\frac{\pi}{2}}^0 \rho(\theta) \cos^2 \theta \sin^2 \theta d\theta \int_0^{2\pi} \sin \varphi d\varphi \right] = 0 \end{aligned} \right\}. \quad (11)$$

Последние результаты имеют место благодаря тому факту, что

$$\int_0^{2\pi} \cos \varphi d\varphi = \int_0^{2\pi} \sin \varphi d\varphi = 0.$$

$$\begin{aligned} \Delta P_z &= R_P^2 \Delta t \left[\int_0^\infty p_\gamma j(\omega) d\omega \int_{\frac{\pi}{2}}^0 (1 - \rho(\theta)) \cos \theta \sin \theta d\theta \int_0^{2\pi} d\varphi + \right. \\ &\quad \left. + 2 \int_0^\infty p_\gamma j(\omega) d\omega \int_{\frac{\pi}{2}}^0 \rho(\theta) \cos^3 \theta \sin \theta d\theta \int_0^{2\pi} d\varphi \right] = \\ &= 2\pi R_P^2 A_0 \Delta t \left[\int_{\frac{\pi}{2}}^0 (1 - \rho(\theta)) \cos \theta \sin \theta d\theta + 2 \int_{\frac{\pi}{2}}^0 \rho(\theta) \cos^3 \theta \sin \theta d\theta \right] = \\ &= -2\pi R_P^2 A_0 \Delta t \left[\frac{1}{2} + \mathcal{I}_1 - 2\mathcal{I}_2 \right], \end{aligned} \quad (12)$$

где

$$A_0 = \int_0^\infty p_\gamma j(\omega) d\omega = \frac{R_\odot^2}{r_P^2 c} \sigma T_\odot^4, \quad (13)$$

$$\mathcal{I}_1 = \int_0^{\frac{\pi}{2}} \rho(\theta) \cos \theta \sin \theta d\theta, \quad (14)$$

$$\mathcal{I}_2 = \int_0^{\frac{\pi}{2}} \rho(\theta) \cos \theta \sin^3 \theta d\theta. \quad (15)$$

На основе теории Френеля

$$\rho(\theta) = \frac{1}{2} S(\theta)^2 [1 + C(\theta)^2] \quad (16)$$

$$C(\theta) = 1 + \frac{2}{n^2 - (n^2 + 1) \sin^2 \theta} \sin^2 \theta \left[\sin^2 \theta - \sqrt{(n^2 - \sin^2 \theta)(1 - \sin^2 \theta)} \right],$$

$$S(\theta) = 1 - \frac{2}{n^2 - 1} \left[\sin^2 \theta + \sqrt{(n^2 - \sin^2 \theta)(1 - \sin^2 \theta)} - 1 \right] \quad (17)$$

T_\odot – эффективная температура поверхности Солнца, k – постоянная Больцмана, \hbar – постоянная Планка, σ – постоянная Стефана-Больцмана, n – показатель преломления вещества частицы, r_P – расстояние от центра Солнца до частицы, c – скорость света в вакууме.

С помощью математического пакета *Mathematica 5.0*

$$\mathcal{I}_1(n) = \frac{1}{6(n^2 - 1)^2(n^2 + 1)^3} \left[1 + 3n^2 - 10n^3 + 18n^4 - 6n^5 + 10n^6 - 6n^7 - 3n^8 - 10n^9 + \right. \\ \left. + 3n^{10} + 24(n^4 + n^8) \ln[n] - 3(n^2 - 4n^4 + 6n^6 - 4n^8 + n^{10}) \ln \left[\frac{n+1}{n-1} \right] \right], \quad (18)$$

$$\mathcal{I}_2(n) = \frac{1}{192(n^2 - 1)^2(n^2 + 1)^4} \left[16 + 6n + 32n^2 + 50n^3 - 176n^4 - 122n^5 + 64n^6 + \right. \\ \left. + 578n^7 - 400n^8 + 578n^9 - 608n^{10} - 122n^{11} + 48n^{12} + 50n^{13} + 6n^{15} + 768n^6 \ln[n] \times \right. \\ \left. \times (1 - n^2 + n^4) - 3(n^2 - 1)^4(1 + 12n^2 + 70n^4 + 12n^6 + n^8) \ln \left[\frac{n+1}{n-1} \right] \right]. \quad (19)$$

В итоге выражение для F_p принимает вид:

$$F_p = \frac{2\pi R_P^2}{c r_P^2} R_\odot^2 \sigma T_\odot^4 \left[\frac{1}{2} + \mathcal{I}_1(n) - 2\mathcal{I}_2(n) \right]. \quad (20)$$

Потенциал светового давления

$$U_{eff}^P = r_P \cdot F_p = \frac{2\pi R_P^2}{c r_P} R_\odot^2 \sigma T_\odot^4 \left[\frac{1}{2} + \mathcal{I}_1(n) - 2\mathcal{I}_2(n) \right]. \quad (21)$$

Эффективное световое давление (ЭСД) на частицу хвоста кометы определяется как отношение силы светового давления к площади большого круга сечения частицы:

$$P_{LP} = \frac{F_p}{\pi R_P^2} = \frac{2 R_\odot^2}{c r_P^2} \sigma T_\odot^4 \left[\frac{1}{2} + \mathcal{I}_1(n) - 2\mathcal{I}_2(n) \right]. \quad (22)$$

Для сравнения приведем аналитические выражения для силы светового давления и эффективного давления, представленные в работе [1]:

$$F_{old} = \frac{f_{sun}}{c} \pi R_P^2, \quad (23)$$

где $f_{sun} = (1366 \pm 4) \frac{\text{Вт}}{\text{м}^2}$ – солнечная постоянная.

$$P_{old}^{LP} = \frac{F_{old}}{\pi R_P^2} = \frac{f_{sun}}{c}. \quad (24)$$

3. Численные результаты и сравнительный анализ

3.1. Сила светового давления

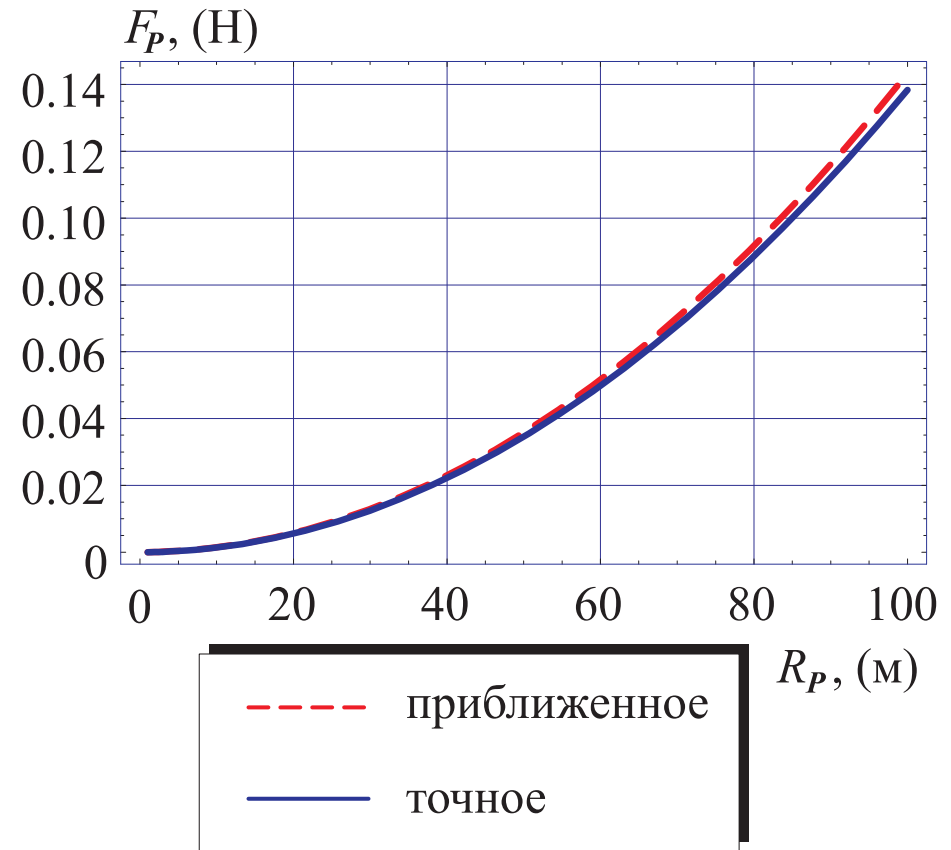
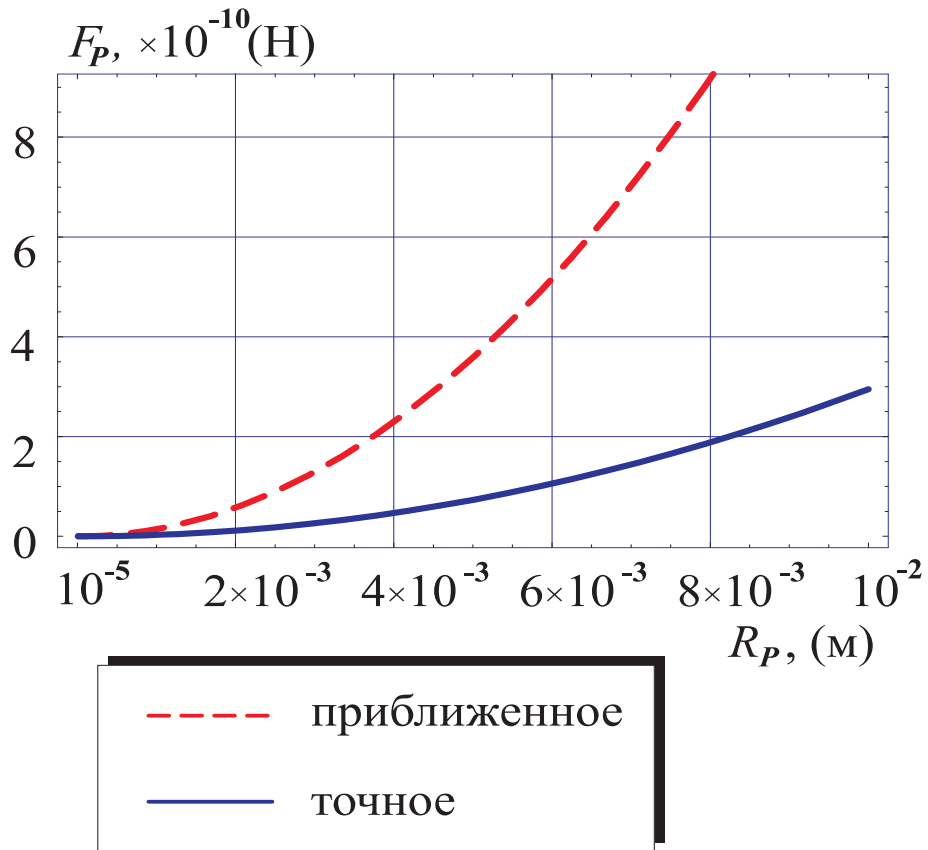


Рис. 1: Зависимость силы светового давления от радиуса частицы для случая $n = 1.577$, $r_P = 1$ а.е., $T_{\odot} = 5777.11$ К

3.2. Сравнительный анализ силы притяжения и силы светового давления

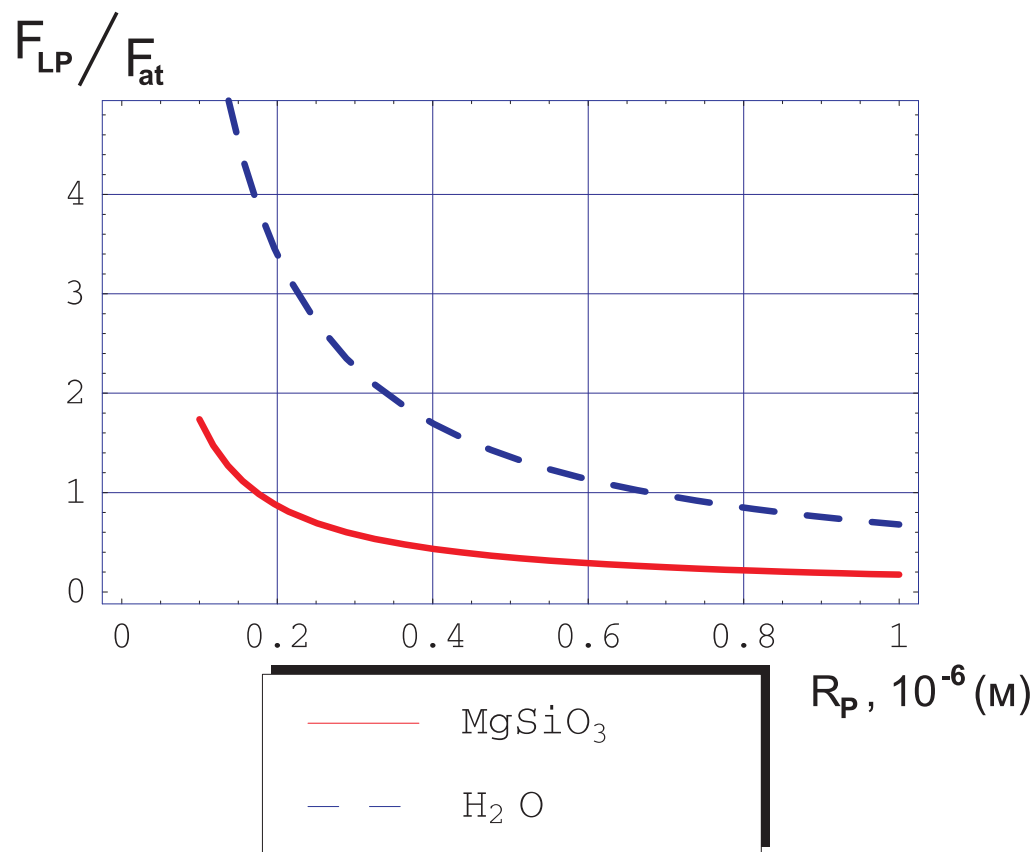


Рис. 2: Зависимость отношения силы светового давления к силе притяжения Солнца от радиуса частицы для случая $n = 1.577$ (пироксен), $n = 1.295$ (водяной лед), $r_P = 1$ а.е., $T_{\odot} = 5777$ К

Сила светового давления по сравнению с силой притяжения со стороны Солнца значительно меньше для частицы из пироксена, чем для частицы из водяного льда. Для водяной частицы равенство данных сил должно выполняться при $R_c = 0.7 \cdot 10^{-6}$ (м) (критический радиус), в то время как для силикатной частицы равенство достигается уже при $R_c = 0.2 \cdot 10^{-6}$ (м). Таким образом, значение критического радиуса для силикатной частицы по сравнению с радиусом водяной частицы при прочих одинаковых условиях меньше в 3.5 раза. Указанный факт косвенно свидетельствует о том, что пылевые диски, оставляемые кометой, должны быть более плотными в силу уменьшения критического радиуса.

3.3. Эффективное световое давление

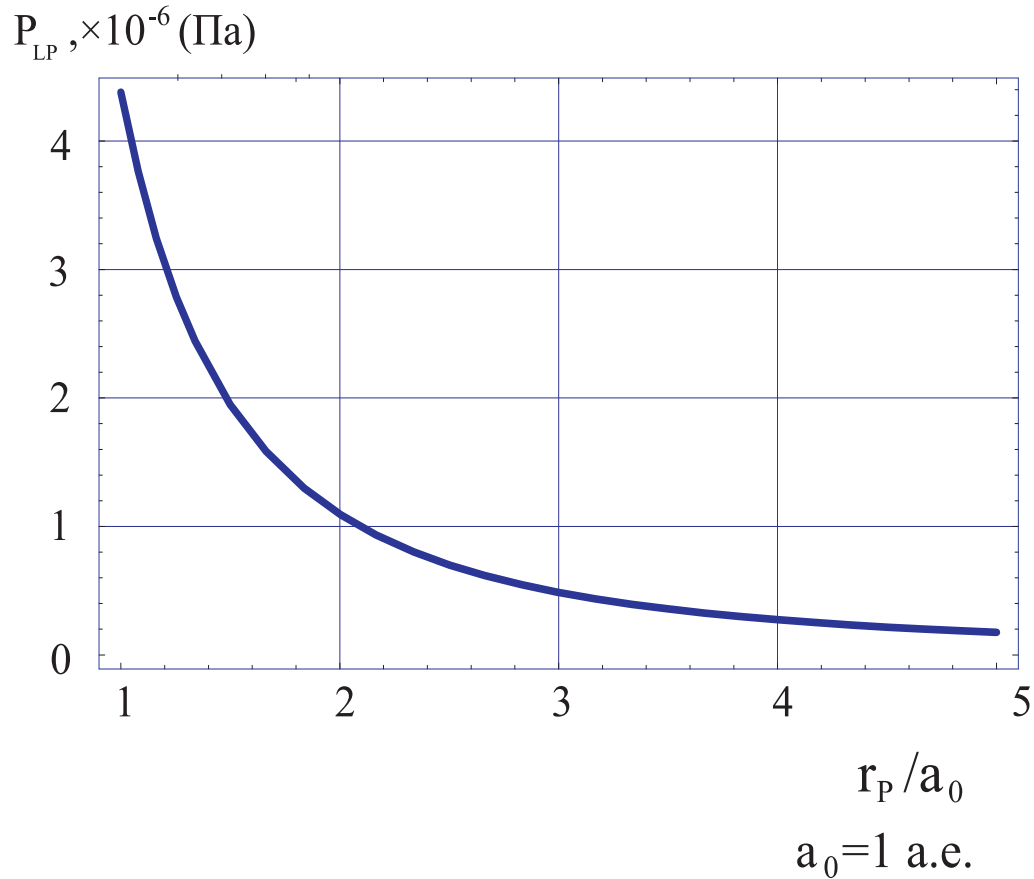


Рис. 3: Зависимость светового давления от гелиоцентрического расстояния частицы для случая $n = 1.577$, $T_{\odot} = 5777.11$ К, $R_P = 10^{-6}$ м

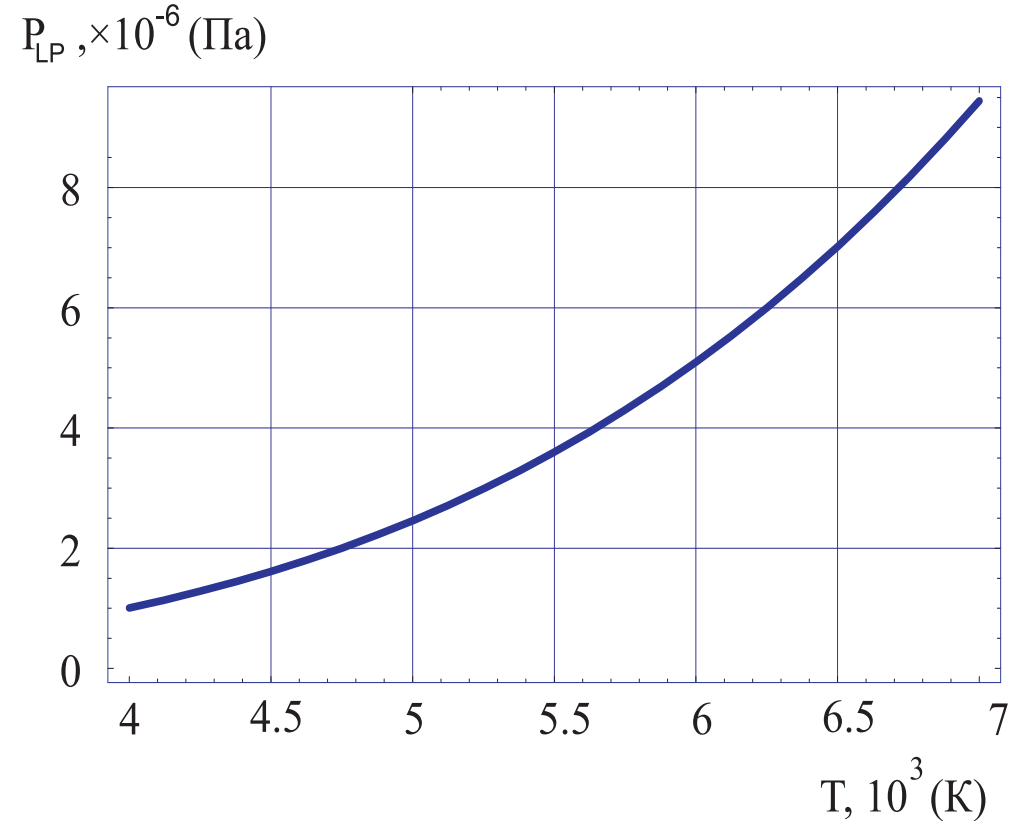


Рис. 4: Зависимость светового давления от температуры звезды для случая $n = 1.577$, $r_P = 1$ а.е., $R_P = 10^{-6}$ м

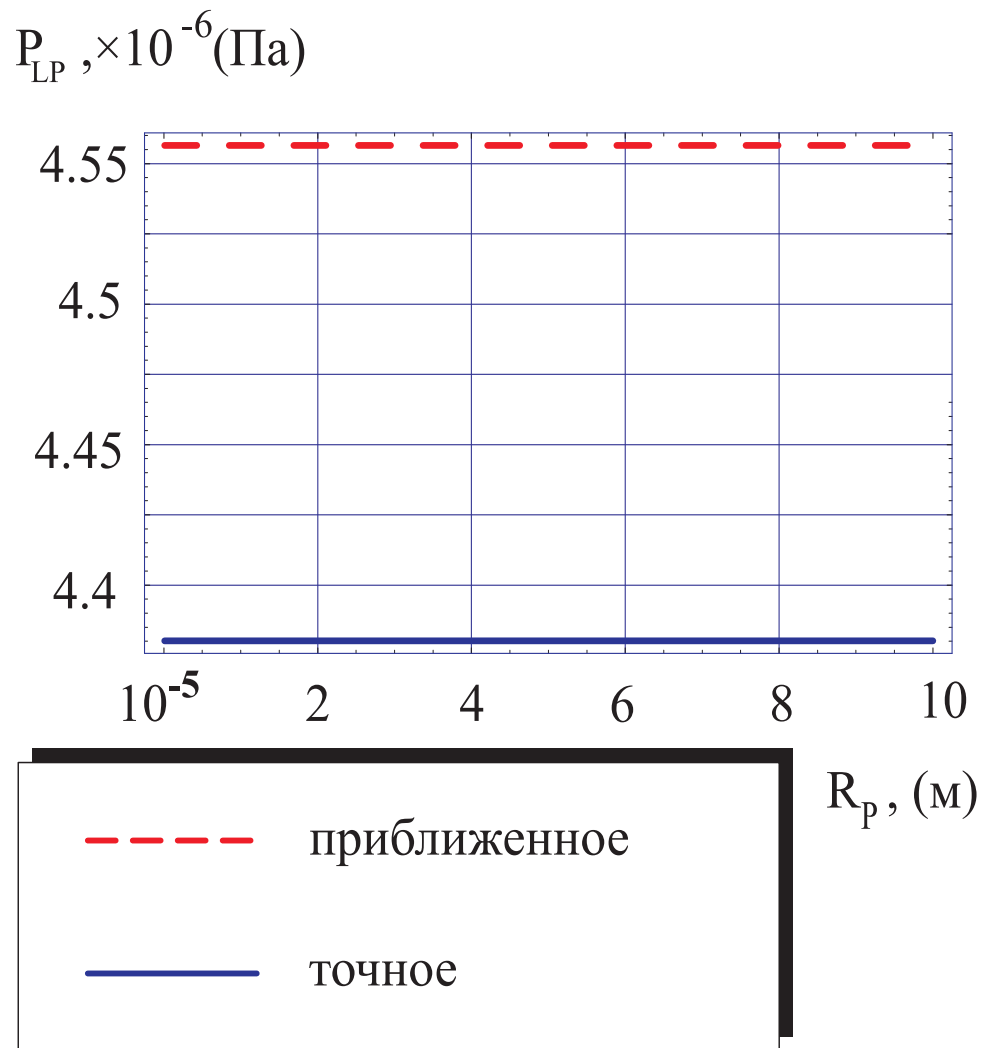


Рис. 5: Зависимость эффективного светового давления от радиуса частицы для случая $n = 1.577$, $r_p = 1$ а.е., $T_{\odot} = 5777.11$ К

Кинельская Дарья, Самарская областная физико-математическая школа

Сравнение с экспериментом

Согласно работе П.Г. Куликовский Справочник любителя астрономии // под ред. В.Г. Сурдина, изд. 5-е, перераб. и полн. обновл. – М.: Эдиториал УРСС, 2002. – 688с.

$$P_{exp} = 4.6 \cdot 10^{-6} (\text{Па}) \quad (25)$$

Сравнение с теорией

Согласно работе О.В. Добровольский Кометы // М.: Наука, Главная редакция физико-математической литературы, 1966. – 288с.

$$P_{theory} = 4.56 \cdot 10^{-6} (\text{Па}) \quad (26)$$

Согласно теории Ми

$$P_{Mie} = 1.78 \cdot 10^{-6} (\text{Па}) \quad (27)$$

Наши результаты

$$P_{LP} = 4.38 \cdot 10^{-6} (\text{Па}) \quad (28)$$

4. Заключение

В данной работе:

- Проведен прецизионный расчет силы светового давления и эффективного светового давления на пылевые частицы хвоста кометы в приближении геометрической оптики, на основе **разработанной модели**.
- Исследованы зависимости силы светового давления и соответствующего эффективного давления от радиуса частицы, температуры звезды, гелиоцентрического расстояния частицы хвоста кометы. Проведено сравнение указанной силы с силой притяжения Солнца, а также с результатами предшественников.
- По аналогии с потенциалом центрального поля сил тяготения тела со сферически-симметричным распределением массы построен механический потенциал светового давления.
- Получено выражение для коэффициента отражения фотонов от поверхности частицы на основе волновых представлений о материи. Явно определена спектральная плотность потока фотонов.
- Полученные результаты могут быть использованы при высокоточном вычислении законов движения частицы хвоста кометы, исследовании физических характеристик как самой кометы, так и ближних окрестностей Солнца и Солнечной системы.

Благодарности

Мы выражаем **большую благодарность** за плодотворные дискуссии и ценные критические замечания преподавателям кафедры **общей и теоретической физики Самарского государственного университета**, в особенности доктору физико-математических наук **Башкирову Евгению Константиновичу**.